

## 長大橋の設計活荷重について

神戸大学工学部 正員 西村 昭  
 新日本製鐵(株) 正員 ○鯨田 実  
 神戸大学大学院 学生員 西本英高

### 1. まえがき

長大橋の設計活荷重に関する研究では、航空写真による載荷状態解析による研究などがあるが、それらは橋の耐用年数に比し、ごく短期間のデータに基づくため、断面力などの極値的な分布を得ることは非常に困難である。ここではシミュレーションによって車の完全渋滞状態のモデル化を試み、断面力極値のばらつきなどを求めた。

### 2. 自動車荷重とモデル車列

交通荷重の調査結果によると、自動車総重量、輪荷重などは一般に指數分布的のばらつきを示すので、それに適合する西村の研究<sup>2)</sup>による分布を自動車荷重(大型車)の母集団として。すなむち、最小値 $x_0$ 、最大値 $W$ 、パラメータ $k$ とすると 分布関数  $F(x/x_0) = 1 - (1 - \frac{x-x_0}{W-x_0})^k$  (1)、平均値  $E = (W + kx_0)/(k+1)$  (2)、分散  $V = (2WE + kx_0^2)/(k+2) - E^2$  (3) となる。

走行車を大型車と小型車に二分するとランダムな交通流では1車線当たり1日1回は起こりうる大型車のみからなるrun(大型車最長run)が発生している。この大型車最長runの長さ(台数)は、交通量(台/日/車線)； $Q$ 、大型車混入率 $p$ (小型車 $q$ 、 $p+q=1$ )によって求まる。すなむち長さ $i$ のrunの生起期待度数 $r_i$ は  $Q \gg 0$  として  $r_i = Q \cdot p^i \cdot q^{i-1}$  (4) より 大型車のrunの確率分布は  $R_h = \sum_{i=1}^{\infty} r_i = Q \cdot p \cdot q$  (5) (4)(5)より 長さ $i$ のrunの確率分布は  $f(i) = r_i / R_h = p^{i-1} \cdot q$  (6) 分布関数は  $F(i) = \sum_{k=1}^i f(k) = 1 - p^i$  (7) より 長さ $i$ 以上のrunの発生確率(超過確率)は  $1 - F(i) = p^i$  (8) ゆえに1日1回は起こると期待できる最長のrunの長さ $i_{max}$ は  $1/p^{i_{max}} = Q \cdot p \cdot q$  とおいて  $i_{max} = -\log(Q \cdot p \cdot q) / \log p$  (9) となる。大型車runの平均長さ $\bar{i}$ と小型車のそれは  $\bar{i} = 1/q$ 、 $\bar{i} = 1/p$  (10) となる。以上よりモデル車列としては、大型車最長runと大型車と小型車の平均長さのrunの混合したものとモデル車列とする。(図-1参照)

### 3. モデル車列による長大吊橋補剛桁断面力

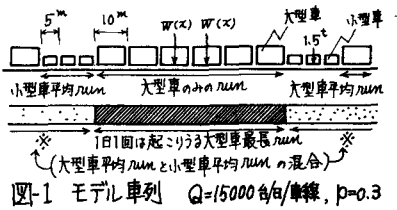
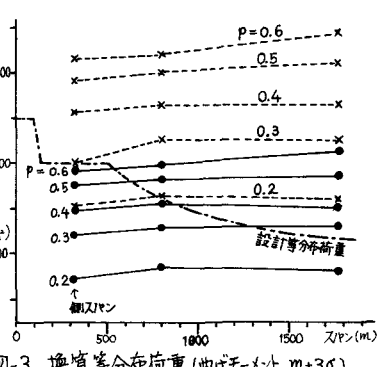
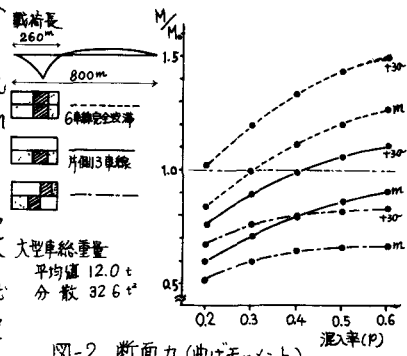


表-1 モデル大型車の統計値

	大型車総重量 (t)	$k$	平均値	分散	標準偏差
1	5 ~ 40	5	10.83	24.3055	4.9301
2	5 ~ 40	4	12.0	32.6	5.7155
3	6 ~ 35	3	13.25	31.5375	5.6158
4	7 ~ 40	3.5	14.3	34.2	5.8500



2種類の3径間2ヒンジ補剛トラス吊橋 ①320+800+320<sup>m</sup>  
 ②870+1760+870<sup>m</sup>を考える。幅員構成は6車線 ②は下段  
 に鉄道が走る Double deck である。モデル車列については  
 大型車総重量は式(1)の有限分布に従うとし 表-1のものと採  
 用した。また小型車は一律に 1.5<sup>t</sup> といふ。占有長は大型車  
 10m、小型車 5m といふ。Qは 15.000 台/日/車線を用いた。  
 また幅員方向の車種は同じとした。

#### (1) 載荷長のみで完全波瀾させる場合

対象部分で最大応力を発生させた載荷長のみ 大型車最  
 長numを載せ 残りの部分には前述の混合したものを載せ  
 た。大型車重量は表-1の母集団から発生させてあてはめた。  
 結果の一例は図-2のようだ 補剛桁断面力は正規分布し  
 表-1の平均値とばらつきのみから求めた理論値とほぼ一致  
 することがわかった。なおこれは本四設計値を単位としている。  
 し荷重の主載荷荷重の換算等分布荷重を求めると図-3とす  
 り、スパンの増大とともに等分布荷重の低減は明らかだった。

#### (2) 停滞解除とともによう補剛桁断面力の変動

発進遅れ、加速度ならびに最高速度を与えた、停滞中のモ  
 デル車列を先頭より順次発進させた場合の断面力の変化を  
 見た。これには種々のパターンを想定した。(図-4) その結果  
 は図-5のようだ pが大きくなるにつれ最大断面力は増加するが  
 解除前の断面力からの増加率は反対に小さくなる。また停  
 滞解除による最大断面力が設計断面力を越えるものはなかった。  
 (図-6) 図-7は停滞のパターン、pによるモデルより求まるそれ  
 の最大断面力を換算等分布荷重の m±3σ の帶に沿  
 おしたものである。これを見れば現行のし荷重の等分布荷重  
 の位置は pの大きさにもよるが 大型車 numを含んで載荷長  
 上での完全波瀬によるものと 停滞解除後の最大断面力を生  
 じるものとの中間に位置している。設計活荷重の決定に際し  
 大型車混入率(p)など 持來の交通事情、交通特性などが  
 大きく影響してくれるものと思われる。

〔参考文献〕 1)国広哲男; 道路橋耐荷力判定のための測定、  
 鋼構造物の試験検査、JSSC、1972.11 2)西村昭; 自動  
 車荷重のばらつきについて、建設工学研究所報告 第2号 昭和36  
 年3月 3)西村昭; 荷重列としての自動車交通流の二、三の解  
 析、土木学会誌 46-2、昭和36年2月

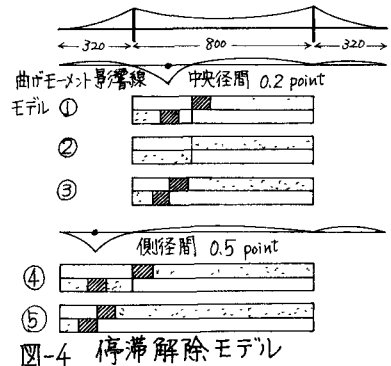


図-4 停滞解除モデル

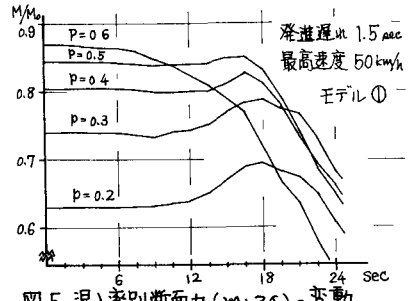


図-5 混入率別断面力( $M+3\sigma$ )の変動

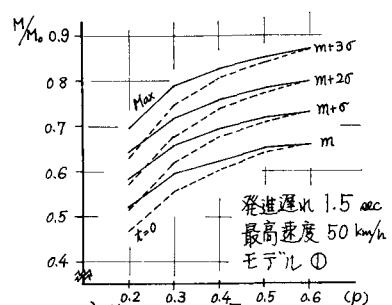


図-6 停滞解除後の最大断面力

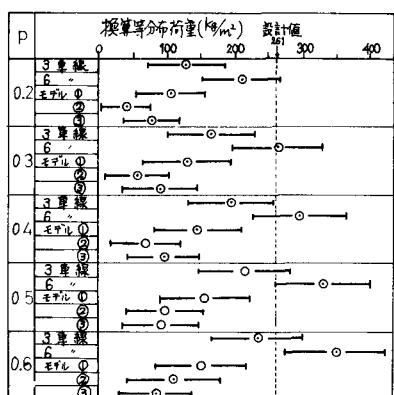


図-7 換算等分布荷重  $m \pm 3\sigma$  ばらつき帶